

ИНЖЕНЕРНО-ФИЗИЧЕСКИЙ
ЖУРНАЛ

ОТДЕЛЬНЫЙ ОТТИСК

НОЯБРЬ-ДЕКАБРЬ, ТОМ 71, № 6

МИНСК 1998

УДК 532.58; 678.027

Л. М. Ульев

МЕДЛЕННЫЕ ТЕЧЕНИЯ МЕЖДУ
СООСНЫМИ КОНИЧЕСКИМИ ПОВЕРХНОСТЯМИ

Решены задачи медленного течения ньютоновской жидкости в каналах, образованных соосными конусами, которые могут иметь или не иметь общую вершину. Получены удобные зависимости для расчета перепада давления и скорости.

В последние годы существенно увеличилось техническое значение течений высоковязких жидкостей, в частности, при переработке и производстве пластмасс и изделий из них. Течение в аппаратах переработки полимеров происходит в каналах различной формы. В большинстве конструкций экструзионных прессформ, фильерных, кабельных и трубных головок [1, 2] существует участок, где течение происходит между коническими поверхностями (рис. 1).

Для выбора оптимальных технологических и конструктивных параметров процессов экструзии необходимо создать надежные, научно обоснованные методы расчета параметров течения в каналах экструзионных головок, напорно-расходной характеристикой которых определяется рабочая точка экструдера [1].

В пределах изменения параметров переработки расплавы некоторых полимеров ведут себя как ньютоновские жидкости [3]. Для практически значимых расходов таких жидкостей $Q \approx 0,5 \cdot 10^{-4} \text{ м}^3/\text{с}$, их реологических свойств $\mu \sim 10^3 \text{ Па}\cdot\text{с}$, $\rho \sim 1250 \text{ кг}/\text{м}^3$, $\lambda \sim 0,2 \text{ Вт}/(\text{м}\cdot\text{К})$, $\Delta T_{\text{теол}} \sim 6 \text{ К}$ [4] и геометрических размеров канала (рис. 1) число Нема-Гриффита [4, 5] $Gn \ll 1$, число Рейнольдса $Re \ll 1$.

Величина числа Gn говорит о том, что диссипативные эффекты не влияют на динамику течения и ими можно пренебречь, что вместе с хорошим термостатированием экструдеров [2] позволяет рассматривать течение в кольцевых конических каналах как изотермическое.

Ламинарное течение между соосными конусами с общей вершиной рассматривалось в [6] в сферических координатах. Получено аналитическое решение для общего случая с учетом инерционных членов в уравнениях движения, но в виде, затрудняющем его использование для практических расчетов. В работе [7] получено общее решение для сферических течений безотносительно к граничным условиям, а в [8] методом конечных элементов исследуется течение нелинейно-вязкой жидкости между конусами при постоянной ширине зазора между ними. Авторы работы [8] по заданному перепаду давления определяют поле скорости и расход, однако в инженерной практике, как правило, требуется решение обратной задачи. А в работах [2, 9] для расчета конических течений предложено использовать ступенчатую аппроксимацию цилиндрическими каналами, что может привести к значительным ошибкам.

Сделанные выше оценки позволяют получить простые выражения для расчета течений между круглыми коническими поверхностями в широком диапазоне изменения геометрических параметров, учитывающие форму канала.

Сначала рассмотрим течение между соосными конусами с общей вершиной. Малое число Рейнольдса позволяет упростить уравнения движения и, следуя [4], записать их с учетом аксиальной симметричности течения в виде:

$$\frac{1}{\mu} \frac{\partial P}{\partial R} = \frac{1}{R^2} \frac{\partial}{\partial R} \left(R^2 \frac{\partial V_R}{\partial R} \right) + \frac{1}{R^2 \sin(\theta)} \frac{\partial}{\partial \theta} \left(\sin(\theta) \frac{\partial V_R}{\partial \theta} \right) - \frac{2V_R}{R^2}, \quad (1)$$

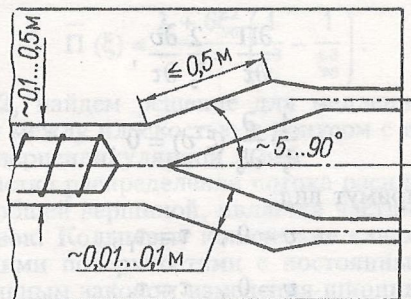


Рис. 1. Поперечный разрез типичной фильерной головки

$$\frac{1}{\mu} \frac{\partial P}{\partial \theta} = \frac{2}{R} \frac{\partial V_R}{\partial \theta}, \quad (2)$$

$$\frac{1}{R^2} \frac{\partial}{\partial R} (R^2 V_R) + \frac{1}{R \sin \theta} \frac{\partial}{\partial \theta} (\sin \theta V_\theta) = 0 \quad (3)$$

с граничными условиями для соосных конусов с общей вершиной (рис. 2)

$$V_R = 0, \quad V_\theta = 0, \quad \theta = \theta_1, \quad (4)$$

$$V_R = 0, \quad \theta = \theta_2, \quad (5)$$

$$\bar{P} = 0, \quad R = R_1, \quad (6)$$

где

$$\bar{P}(R) = \frac{1}{\cos \theta_1 - \cos \theta_2} \int_{\theta_1}^{\theta_2} P(R, \theta) \sin \theta d\theta.$$

$$P_0 = \frac{1}{\sin \theta_1 \sin \theta_2} \int_{\theta_1}^{\theta_2} P(R_0, \theta) \sin \theta d\theta$$

Для углов раскрытия конусов $\Delta\theta = \theta_2 - \theta_1 \leq 30^\circ$ уравнение неразрывности (3) позволяет сделать оценку угловой составляющей скорости $V_\theta \sim \Delta\theta V_R$, т. е. $V_\theta = o(V_R)$, и пренебречь ею в уравнениях движения и неразрывности, которые в безразмерных переменных

$$\xi = \frac{R}{r_0}, \quad v = \frac{V_R}{V_0}, \quad \Pi = \frac{(P - P_0) r_0}{\mu V_0}, \quad \tau = \cos \theta, \quad V_0 = \frac{Q}{2\pi R_0^2 (\tau_1 - \tau_2)}, \quad (7)$$

запишутся:

$$\frac{\partial \Pi}{\partial \xi} = \frac{1}{\xi^2} \frac{\partial}{\partial \xi} \left(\xi^2 \frac{\partial v}{\partial \xi} \right) + \frac{1}{\xi^2} \frac{\partial}{\partial \tau} \left[(1 - \tau^2) \frac{\partial v}{\partial \tau} \right] - \frac{2v}{\xi^2}, \quad (8)$$

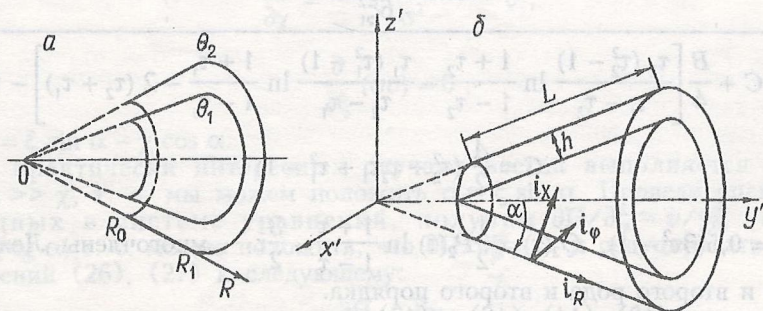


Рис. 2. Геометрия конического зазора: а - конусы с общей вершиной (R, R_0, R_1 - радиальная координата и координаты входа и выхода, м; θ_1, θ_2 - углы раскрытия конусов, град); б - конусы, не имеющие общей вершины (L - длина конической части канала, м; h - ширина зазора, м; i_R, i_x, i_φ - орты в биконической системе координат)

$$\frac{\partial \Pi}{\partial \tau} = \frac{2}{\xi} \frac{\partial v}{\partial \tau}, \quad (9)$$

$$\frac{1}{\xi^2} \frac{\partial}{\partial \xi} (\xi^2 v) = 0. \quad (10)$$

Граничные условия примут вид:

$$v = 0, \quad \tau = \tau_1; \quad (11)$$

$$v = 0, \quad \tau = \tau_2; \quad (12)$$

$$\bar{\Pi} = 0, \quad \xi = \xi_0, \quad (13)$$

а

$$\bar{\Pi} = \frac{1}{\tau_2 - \tau_1} \int_{\tau_1}^{\tau_2} \Pi d\tau.$$

Условие постоянства расхода запишем как

$$\int_{\tau_1}^{\tau_2} v d\tau = -\xi_1^2 (\tau_1 - \tau_2) / \xi^2. \quad (14)$$

Из (10) следует зависимость $v = u(\tau) / \xi^2$, которая совместно с (9) дает

$$\frac{\partial \Pi}{\partial \xi} = -\frac{6}{\xi^4} u + f'(\xi), \quad (15)$$

подставляя (15) в (7) и разделяя переменные, получаем уравнения для определения $u(\tau)$ и $f(\xi)$:

$$(1 - \tau^2) \frac{\partial^2 u}{\partial \tau^2} - 2\tau \frac{\partial u}{\partial \tau} + 6u = -\lambda, \quad (16)$$

$$\xi^4 f'(\xi) = -\lambda. \quad (17)$$

Решение (16) с учетом условий (11)–(14) имеет вид

$$u = \frac{\lambda}{6} (AP_2(\tau) + BQ_2(\tau) - 1), \quad (18)$$

где

$$A = \frac{Q_2(\tau_2) - Q_2(\tau_1)}{P_2(\tau_1) Q_2(\tau_2) - P_2(\tau_2) Q_2(\tau_1)}; \quad B = \frac{P_2(\tau_2) - P_2(\tau_1)}{P_2(\tau_1) Q_2(\tau_2) - P_2(\tau_2) Q_2(\tau_1)};$$

$$\lambda = \frac{6\xi_1^2}{C + \frac{B}{4} \left[\frac{\tau_2(\tau_2^2 - 1)}{\tau_1 - \tau_2} \ln \frac{1 + \tau_2}{1 - \tau_2} - \frac{\tau_1(\tau_1^2 - 1)}{\tau_2 - \tau_1} \ln \frac{1 + \tau_1}{1 - \tau_1} - 2(\tau_2 + \tau_1) \right] - 1};$$

$$C = \frac{A}{2} (\tau_2^2 + \tau_2\tau_1 + \tau_1^2 - 1),$$

а $P_2(\tau) = 0,5(3\tau^2 - 1)$, $Q_2(\tau) = \frac{1}{2} P_2(\tau) \ln \frac{1 + \tau}{1 - \tau} - \frac{3}{2} \tau$ — многочлены Лежандра первого и второго рода и второго порядка.

Используя (12), (14), (16) и (17), запишем выражение для распределения давления

$$\Pi(\xi, \tau) = \frac{2u(\tau)}{\xi^3} + \frac{\lambda}{3} \left(\frac{1}{\xi^3} - \frac{1}{\xi_0^3} \right) - \frac{2}{\xi_0}, \quad (19)$$

и, усредняя его по поперечному сечению канала, получаем

$$\bar{\Pi}(\xi) = \frac{\lambda + 6\xi_0^2}{3} \left(\frac{1}{\xi^3} - \frac{1}{\xi_0^3} \right). \quad (20)$$

Полагая $\theta_2 = \pi/2$, найдем решение для медленного осесимметричного радиального течения между плоскостью и конусом с вершиной, лежащей на плоскости, и осью, перпендикулярной к ней.

Конструкция участка распределения потока расплава, образованного соосными конусами с общей вершиной, является частным случаем устройства экструзионных головок. Кольцевые конические каналы могут быть образованы концентрическими поверхностями с постоянным расстоянием между ними или с произвольным законом изменения ширины зазора. Поэтому для выбора оптимальных конструктивных и технологических параметров необходимо исследовать течение между соосными конусами, не имеющими общей вершины.

Рассмотрим конусный кольцевой канал постоянной ширины (рис. 1). Параметры жидкости и основные геометрические размеры устройств формирования аналогичны приведенным выше. Поэтому течение жидкости можно считать изотермическим, а в уравнениях движения пренебрегать инерционными членами. Исследовать уравнения гидродинамики в таком канале удобно в биконических координатах [10], начало которых совпадает с вершиной внешней конической поверхности (рис. 1), определяемых преобразованиями:

$$z' = R \cos \alpha + X \sin \alpha, \quad (21)$$

$$y' = (R \sin \alpha - X \cos \alpha) \sin \varphi = \Omega \sin \varphi, \quad (22)$$

$$x' = (R \sin \alpha - X \cos \alpha) \cos \varphi = \Omega \cos \varphi. \quad (23)$$

Вычисляя коэффициенты Ламэ $H_X = 1$, $H_R = 1$, $H_\varphi = \Omega$ и следуя [11], запишем уравнения неразрывности и движения в выбранных координатах.

Уравнение неразрывности для аксиально-симметричного течения

$$\frac{\partial}{\partial R} (\Omega V_R) + \frac{\partial}{\partial X} (\Omega V_X) = 0. \quad (24)$$

Отсюда получим оценку соотношения между величинами V_X и V_R , $V_X \approx 2V_R h/L$, т. е. $V_X = \alpha(V_R)$, что позволяет систему уравнений гидродинамики в безразмерных переменных

$$\xi = R/r_0, \quad \chi = X/r_0, \quad V_0 = Q/(\pi r_0^2), \quad v = V_R/V_0, \quad \Pi = (P - P_0) r_0/\mu V_0 \quad (25)$$

записать как:

$$\frac{\partial \Pi}{\partial \xi} = \frac{1}{\sigma} \frac{\partial}{\partial \chi} \left(\sigma \frac{\partial v}{\partial \chi} \right), \quad (26)$$

$$\frac{\partial \Pi}{\partial \chi} = \frac{\cos(\alpha) \sin(\alpha)}{\sigma^2} v, \quad (27)$$

$$\frac{\partial}{\partial \xi} (\sigma v) = 0, \quad (28)$$

где $\sigma = \xi \sin \alpha - \chi \cos \alpha$.

В практически интересных случаях всегда выполняется условие $\xi \tan \alpha \gg \chi$, т. е. мы можем положить $\sigma \approx \xi \sin \alpha$. Проведя оценку производных в системе уравнений, получим $\partial \Pi / \partial \xi \approx v / \chi_0^2$, $\partial \Pi / \partial \chi \approx v / \xi^2 \tan \alpha$, т. е. можно положить, что $\partial \Pi / \partial \xi = 0$, и редуцировать систему уравнений (26), (27) к следующему:

$$\frac{\partial \Pi}{\partial \xi} = \frac{\partial^2 v}{\partial \chi^2}. \quad (29)$$

Граничными условиями являются условие прилипания и заданное давление на входе в канал:

$$v = 0, \quad \chi = 0; \quad (30)$$

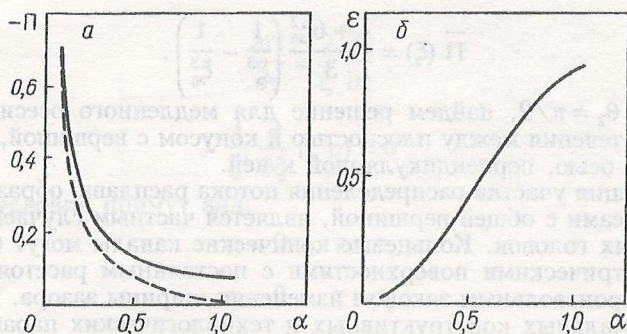


Рис. 3. Зависимости для конического кольцевого канала с постоянной шириной зазора от угла раскрытия: *a* – безразмерного перепада давления в канале (сплошная линия – расчет по (35), штриховая – по (40) и (41а) при $N = 60$); *b* – относительной ошибки для указанных величин

$$u = 0, \quad \chi = \chi_0, \quad (\chi_0 = h/r_0); \quad (31)$$

$$\Pi = 0, \quad \xi = \xi_0, \quad (32)$$

а уравнение неразрывности учтем с помощью условия постоянства расхода

$$\int_0^{\chi_0} (\xi \sin \alpha - \chi \cos \alpha) v d\chi = 0,5. \quad (33)$$

Решением системы (29)–(32) являются выражения:

$$v = \frac{6(\chi^2 - \chi_0\chi)}{\chi_0^3(\chi_0 \cos \alpha - 2\xi \sin \alpha)}, \quad (34)$$

$$\Pi = -\frac{6}{\chi_0^3 \sin \alpha} \ln \frac{\chi_0 - 2\xi \operatorname{tg} \alpha}{\chi_0 - 2\xi_0 \operatorname{tg} \alpha}. \quad (35)$$

Отметим два предельных случая, вытекающих из (35):

1) при $\alpha \rightarrow 90^\circ$ получаем выражение для определения перепада давления при радиальном течении между параллельными плоскостями

$$\Pi = -\frac{6}{\chi_0^3} \ln \frac{\xi}{\xi_0}; \quad (36)$$

2) при $\chi_0/\xi_0 \ll 1$ – выражение для перепада давления в узких конических щелях [12]

$$\Pi = -\frac{6}{\chi_0^3 \sin \alpha} \ln \frac{\xi}{\xi_0}, \quad (37)$$

которое может привести к значительным погрешностям в тех случаях, когда величина χ_0 сравнима с радиусом кривизны канала.

При расчете перепада давления в коаксиальных конических каналах, ширина зазора которых не постоянна вдоль течения, например, образующая внутренней поверхности определяется как $\chi_0 = f(\xi)$, возможно применение ступенчатой аппроксимации:

$$\Pi = -\frac{6}{\sin \alpha} \sum_{i=1}^N \frac{1}{\chi_{0i}^3} \ln \frac{\chi_{0i} - 2\xi_{i+1} \operatorname{tg} \alpha}{\chi_{0i} - 2\xi_i \operatorname{tg} \alpha}, \quad (38)$$

где $\xi_{i+1} = \xi_0 + \frac{\xi_N}{N}(i-1)$, $\chi_{0i} = f(\xi_i)$; N – число ступеней; ξ_0 – координата входа; ξ_N – координата выхода. Если функция $f(\xi)$ неизвестна, следует использовать ее аппроксимационное представление.

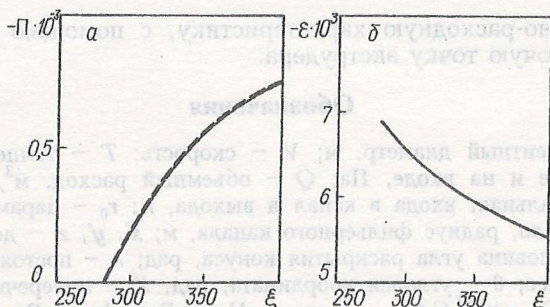


Рис. 4. Зависимости для конического кольцевого канала, образованного конусами с общей вершиной, от безразмерного радиуса: *a* – безразмерного перепада давления в канале (сплошная линия – расчет по (20), штриховая – по (38) при $N = 60$); *б* – относительной ошибки для указанных величин

Аналогично записывается выражение для расчета давления в осесимметричном кольцевом канале переменного сечения с произвольной формой образующей канала:

$$P = -6 \sum_{i=1}^N \frac{1}{\chi_{0i}^3 \sin \alpha_i} \ln \frac{\chi_{0i} - 2\xi_{i+1} \operatorname{tg} \alpha_i}{\chi_{0i} - 2\xi_i \operatorname{tg} \alpha_i}, \quad (39)$$

где все индексированные величины определяются для каждого участка канала.

Заметим, что данная аппроксимация учитывает геометрические особенности канала и не заменяет сходящееся или расходящееся коническое течение прямолинейным течением.

Кроме того, если в (38) положить $\alpha = 90^\circ$, совместно с (34) получим приближенные выражения для расчета медленного радиального течения между плоскостью и конусом с произвольно расположенной вершиной.

В работах [2, 9] перепад давления в коническом кольцевом канале предлагается рассчитывать с помощью ступенчатой аппроксимации канала коаксиальными цилиндрами. Применяя такой подход к каналу постоянной ширины, имеем, следуя [2], зависимость

$$\Delta P = - \frac{24 (\xi_1 - \xi_0) \cos^5 \alpha}{\chi_0^3 [(\xi_1 + \xi_0) \sin 2\alpha - 2\chi_0]} \quad (40)$$

или, следуя [9], выражение

$$\Delta P = -12 \frac{\xi_1 - \xi_0}{N \chi_0} (\cos \alpha)^4 \sum_{i=1}^N \frac{1}{2\xi_i \sin \alpha - \chi_0 \operatorname{tg} \alpha}, \quad (40a)$$

которые при $N > 20$ дают практически одинаковый результат.

Сравнение результатов расчета перепада давления в коническом кольцевом канале с постоянной шириной зазора при значениях $\chi_0 = 3,33$, $\xi_0 = 280$, $\xi_1 = 400$, по (35) и (40), (40a) показывает их значительное различие, особенно при углах раскрытия $\alpha > 30^\circ$ (рис. 3). Применение ступенчатой аппроксимации к течению между конусами с общей вершиной дает еще большее расхождение с результатами, полученными с помощью (20).

Результаты, полученные по (38), в этом случае показывают хорошую сходимость с зависимостью (20), которая в переменных (25) запишется как

$$\bar{P} = \frac{\lambda + 6\xi_0^2}{6\xi_0^2 (\tau_1 - \tau_2)} \left(\frac{1}{\xi^3} - \frac{1}{\xi_0^3} \right) \quad (41)$$

для значений $\theta_1 = 10,91^\circ$, $\theta_2 = 15^\circ$, $\xi_0 = 280$, $\xi_1 = 400$ (рис. 4), а также во всем диапазоне изменения параметров.

Представленные здесь результаты совместно с работами, выполненными автором ранее [4, 5, 13, 14], позволяют выбрать оптимальные технологические и конструктивные параметры экструзионных головок, а также полу-

чить их напорно-расходную характеристику, с помощью которой можно определить рабочую точку экструдера.

Обозначения

d – эквивалентный диаметр, м; V – скорость; T – температура; P, P_0 – давление текущее и на входе, Па; Q – объемный расход, м³/с; R, R_0, R_1 – координата радиальная, входа в канал и выхода, м; r_0 – параметр обезразмеривания, как правило, радиус фильерного канала, м; x', y', z' – декартовы координаты, м; α – половина угла раскрытия конуса, рад; λ – постоянная разделения; μ – вязкость, Па·с; θ – угловая координата, рад; X – поперечная биконическая координата, м; $Gn = \mu V^2 / \lambda \Delta T_{\text{теол}}$ – число Нема-Гриффита; $Re = dV\rho/\mu$ – число Рейнольдса.

Литература

1. **Тадмор З., Гогос К.** Теоретические основы переработки полимеров. М., 1984.
2. **Торнер Р. В., Акутин М. С.** Оборудование заводов по переработке пластмасс. М., 1986.
3. **Пономаренко В. Г., Потехня Г. Ф., Ульев Л. М.** и др. // ИФЖ. 1990. Т. 59, № 1. С. 158–159. Деп. в ВИНТИ 19.02.90, пер. № 982-В90.
4. **Ульев Л. М.** // ТОХТ. 1992. Т. 26, № 2. С. 243–253.
5. **Ульев Л. М.** // ТОХТ. 1996. Т. 30, № 6. С. 583–590.
6. **Слезкин Н. А.** Движение вязкой жидкости в конусе и между двумя конусами // Мат. сб. М., 1935. Т. 42, № 1. С. 43–64.
7. **Хаппель Дж., Бренер Г.** Гидродинамика при малых числах Рейнольдса. М., 1976.
8. **Литвинов В. Г., Иванова Н. И.** // Прикл. механика. 1994. Т. 30, № 11. С. 85–90.
9. **Торнер Р. В.** Теоретические основы переработки полимеров. М., 1977.
10. **Гольдин А. М., Карамзин В. А.** Гидродинамические основы процессов тонкослойного сепарирования. М., 1985.
11. **Кочин Н. Е., Кибель И. А., Розе Н. В.** Теоретическая гидродинамика. Ч. 2. М.; Л., 1948.
12. **Новиков П. А., Люблин Л. Я., Новикова В. И.** Течения и тепломассообмен в шелевых системах. Минск, 1991.
13. **Ульев Л. М.** // ТОХТ. 1995. Т. 29, № 3. С. 233–241.
14. **Ульев Л. М.** // ИФЖ. 1996. Т. 69, № 4. С. 606–614.

Харьковский государственный
политехнический университет

Поступила 04.03.97.